

УДК 681.5.023+681.5.015+62—83:629.433

Б. І. Мокін, д. т. н., проф.;

О. Б. Мокін, асп.

## МАТЕМАТИЧНІ МОДЕЛІ В ЗАДАЧІ ОПТИМІЗАЦІЇ ЕЛЕКТРОПРИВОДА ТРАМВАЯ ПРИ ЙОГО СТАЛОМУ НАВАНТАЖЕННІ

### 1. Вихідні передумови та постановка задачі

Основними функціональними елементами електропривода трамвая є чотири електричні двигуни постійного струму з послідовним збудженням, які попарно підключені під напругу контактної мережі.

В процесі роботи трамвая на маршруті двигуни його електропривода споживають значну кількість електричної енергії, тож трамвайний парк міста є одним із найбільших її споживачів.

В зв'язку з цим актуальною є задача оптимізації режиму роботи електропривода трамвая за критерієм мінімуму втрат електричної енергії в якірних колах їх електричних двигунів.

В роботі [1] задача оптимізації за критерієм

$$Q = \int_0^{\tau_k} i^2 d\tau \quad (1)$$

режиму роботи за програмою

$$\beta = \int_0^{\tau_k} v d\tau \quad (2)$$

електропривода з електродвигуном послідовного збудження, динаміка якого описується рівнянням

$$i\dot{\phi} = \dot{v} + \mu_0, \quad (3)$$

доведена до рівняння

$$\frac{2i}{\phi + i \frac{d\phi}{di}} = \lambda_0 \tau + C, \quad (4)$$

для розв'язання якого відносно струму якоря електродвигуна необхідно задати в аналітичній формі залежність робочого магнітного потоку цього електродвигуна від струму збудження, який для цього класу електродвигунів є одночасно і струмом збудження якоря.

В формулах (1)÷(4):  $i$  – струм якоря,  $\phi$  – робочий магнітний потік,  $v$  – кутова швидкість,  $\dot{v}$  – її похідна,  $\mu_0$  – момент навантаження на валу ротора,  $\tau$  – час — задані у відносних одиницях:

$$\mu = \frac{M}{M_H}; \quad i = \frac{I_A}{I_H}; \quad \phi = \frac{\Phi}{\Phi_H}; \quad v = \frac{\omega}{\omega_H}; \quad \tau = \frac{t}{T_M}, \quad (5)$$

де  $M_H$ ,  $I_H$ ,  $\Phi_H$ ,  $\omega_H$  – номінальні значення відповідно моменту, струму, магнітного потоку та кутової швидкості, а  $T_M$  – механічна стала, яка визначається як

$$T_M = \frac{J\omega_H}{M_H}, \quad (6)$$

де  $J$  – приведений до вала електродвигуна момент інерції махових мас електропривода.

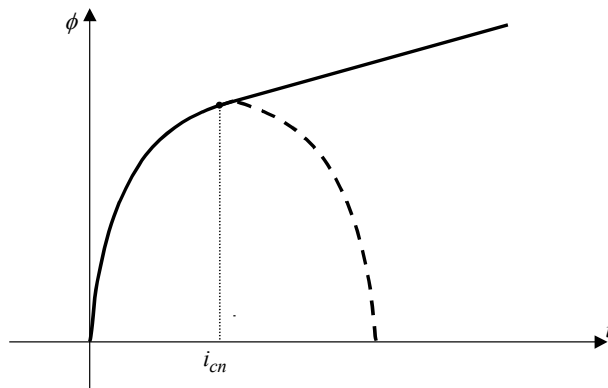


Рис. 1. Графік характеристики намагнічування  $\phi(i)$  електричного двигуна при використанні моделі (7)

В роботі [2] побудована зручна для використання при розв'язанні задачі оптимізації математична модель характеристики намагнічування  $\phi(i)$  (рис. 1) у вигляді:

$$\phi(i) = \begin{cases} -a_2 i^2 + b_2 i, & i \in [0, i_{cn}), \\ a_1 + b_1 i, & i \in [i_{cn}, \infty), \end{cases} \quad (7)$$

де 
$$i_{cn} = \frac{b_2 - b_1}{2a_2}. \quad (8)$$

Виходячи із співвідношень (1)÷(8), побудуємо такі моделі для струму якоря  $i$  та кутової швидкості обертання ротора  $\nu$ , які забезпечують мінімум функціонала (1).

Зрозуміло, що реалізація цих моделей під час керування електроприводом трамвая приведе до мінімізації втрат електроенергії за час роботи цього трамвая на маршруті.

## 2. Побудова математичних моделей для визначення оптимальних законів зміни струму якоря та кутової швидкості обертання вала ротора електродвигуна

В момент пуску електродвигуна ( $\tau = 0$ ) е. р. с. обертання його якоря дорівнює нулю, тому прикладена напруга контактної мережі урівноважується лише падінням напруги від струму якоря на якріному колі, звідки пусковий струм можна визначити як

$$i_n = \frac{u}{r_{\text{Я}}}, \quad (9)$$

де  $u = \frac{U}{U_H}$  — відносне, по відношенню до номінального  $U_H$ , значення напруги контактної мережі для якоря електродвигуна, а

$$r_{\text{Я}} = \frac{\sum R_{\text{Я}}}{R_H} = \frac{\sum R_{\text{Я}} I_H}{U_H} \quad (10)$$

відносне значення опору якріного ланцюга.

Оскільки для електропривода трамвая завжди

$$i_n > i_{cn}, \quad (11)$$

то в режимі розгону трамвая електродвигун працює на лінійному відрізку кривої намагнічування, тобто

$$\phi(i) = a_1 + b_1 i, \quad (12)$$

а 
$$\frac{d\phi}{di} = b_1. \quad (13)$$

Підставляючи (12) і (13) у (4), отримаємо

$$\frac{2i}{a_1 + 2b_1 i} = \lambda_0 \tau + C. \quad (14)$$

Із (14) знайдемо, що

$$i = \frac{a_1(C + \lambda_0\tau)}{2(1 - b_1(C + \lambda_0\tau))}. \quad (15)$$

Підставляючи (12) і (15) у (3), матимемо

$$\dot{v} = \frac{a_1^2(C + \lambda_0\tau)}{2(1 - b_1(C + \lambda_0\tau))} + \frac{a_1^2 b_1(C + \lambda_0\tau)^2}{4(1 - b_1(C + \lambda_0\tau))^2} - \mu_0. \quad (16)$$

Інтегруючи (16), отримаємо

$$v = \frac{a_1^2}{4\lambda_0 b_1} \left( \frac{1}{b_1(1 - b_1(C + \lambda_0\tau))} - \frac{1}{b_1} - (C + \lambda_0\tau) \right) - \mu_0\tau + C_1. \quad (17)$$

Стала  $C$ , що входить у моделі (15) і (17), легко знаходиться з використанням початкової умови для струму якоря —

$$\begin{cases} \tau = 0, \\ i = i_n, \end{cases} \quad (18)$$

та моделі (15), оскільки, підставляючи (18) у (15), матимемо

$$i_n = \frac{a_1 C}{2(1 - b_1 C)}, \quad (19)$$

звідки —

$$C = \frac{2i_n}{a_1 + 2b_1 i_n}. \quad (20)$$

Сталі  $C_1$  та  $\lambda_0$  знайдемо з граничних умов для швидкості:

$$\begin{cases} \tau = 0, \\ v = 0, \end{cases} \quad (21)$$

$$\begin{cases} \tau = \tau_k, \\ v = 0. \end{cases} \quad (22)$$

Підставляючи (21) і (22) у (17), матимемо

$$0 = \frac{a_1^2}{4\lambda_0 b_1} \left( \frac{1}{b_1(1 - b_1 C)} - \frac{1}{b_1} - C \right) + C_1, \quad (23)$$

$$0 = \frac{a_1^2}{4\lambda_0 b_1} \left( \frac{1}{b_1(1 - b_1(C + \lambda_0\tau_k))} - \frac{1}{b_1} - (C + \lambda_0\tau_k) \right) - \mu_0\tau_k + C_1. \quad (24)$$

Із (23) отримаємо залежність сталої  $C_1$  від  $\lambda_0$  у вигляді

$$C_1 = \frac{a_1^2}{4\lambda_0 b_1} \left( C + \frac{1}{b_1} - \frac{1}{b_1(1 - b_1 C)} \right), \quad (25)$$

а, підставляючи (25) у (24), — рівняння для знаходження сталої  $\lambda_0$  у вигляді

$$\lambda_0^2 + \frac{2a_1^2 C - a_1^2 b_1 C^2 - 4\mu_0 + 8\mu_0 b_1 C + C}{\tau_k (a_1^2 - a_1^2 b_1 C + 4\mu_0 b_1)} \lambda_0 + \frac{C_1^2}{\tau_k^2 (a_1^2 - a_1^2 b_1 C + 4\mu_0 b_1)} = 0. \quad (26)$$

А тепер розглянемо роботу електропривода трамвая в усталеному режимі, для якого виконується нерівність

$$i < i_{cn}. \quad (27)$$

В цьому випадку електродвигун працює на параболічному відрізку кривої намагнічування, тобто

$$\phi(i) = -a_2 i^2 + b_2 i, \quad (28)$$

а

$$\frac{d\phi}{di} = -2a_2 i + b_2. \quad (29)$$

Підставляючи (28) і (29) у (4), отримаємо

$$\frac{2i}{-3a_2 i^2 + 2b_2 i} = C + \lambda_0 \tau. \quad (30)$$

Оскільки для електродвигуна з послідовним збудженням завжди виконується умова

$$i \neq 0, \quad (31)$$

дивись, наприклад, [3], то з (30) знайдемо, що

$$i = \frac{2}{3a_2} \left( b_2 - \frac{1}{C + \lambda_0 \tau} \right). \quad (32)$$

Підставляючи (28) і (32) у (3), матимемо

$$\dot{v} = -\frac{8}{27a_2^2} \left( b_2 - \frac{1}{C + \lambda_0 \tau} \right)^3 + \frac{4b_2}{9a_2^2} \left( b_2 - \frac{1}{C + \lambda_0 \tau} \right)^2 - \mu_0. \quad (33)$$

Інтегруючи (33), отримаємо

$$v = \frac{4}{27a_2^2 \lambda_0} \left( b_2^3 (C + \lambda_0 \tau) + \frac{3b_2}{C + \lambda_0 \tau} - \frac{1}{(C + \lambda_0 \tau)^2} \right) - \mu_0 \tau + C_2. \quad (34)$$

Для визначення сталої  $C_2$  спочатку знайдемо момент  $\tau_{cn}$  досягнення струмом якоря значення  $i_{cn}$ , яке нам відоме з (8).

Підставляючи  $\tau_{cn}$  та значення  $i_{cn}$  із (8) у (15), отримаємо рівняння

$$\frac{b_2 - b_1}{2a_2} = \frac{a_1 (C + \lambda_0 \tau_{cn})}{2(1 - b_1 (C + \lambda_0 \tau_{cn}))}, \quad (35)$$

з одним невідомим —  $\tau_{cn}$ , значення якого і знаходиться з цього рівняння.

Підставляючи знайдене значення  $\tau_{cn}$  в рівняння (17), знайдемо значення кутової швидкості  $v_{cn}$  в цей момент.

В свою чергу, підставляючи значення  $v_{cn}$  і  $\tau_{cn}$  в рівняння (34), знайдемо сталу  $C_2$  у вигляді

$$C_2 = v_{cn} + \mu_0 \tau_{cn} - \frac{4}{27a_2^2 \lambda_0} \left( b_2^3 (C + \lambda_0 \tau_{cn}) + \frac{3b_2}{C + \lambda_0 \tau_{cn}} - \frac{1}{(C + \lambda_0 \tau_{cn})^2} \right). \quad (36)$$

Оскільки квадратне рівняння (26) має два корені  $\lambda_{01}$  і  $\lambda_{02}$ , то і значень  $\tau_{cn}$ , які знаходяться з рівняння (35), теж буде два ( $\tau_{cn1}$  та  $\tau_{cn2}$ ). Одне із цих значень  $\tau_{cn}$  характеризує перехід струму якоря з лінійної ділянки характеристики намагнічування на параболічну в режимі розгону (внаслідок збільшення е. р. с. обертання і зменшення струму якоря електродвигуна), а друге — перехід струму якоря з параболічної ділянки характеристики намагнічування на лінійну в режимі гальмування.

Те, що (15), (17) та (32), (34) забезпечують саме мінімум функціоналу (1) доведено в роботі [1] для довільного закону зміни  $i$  та  $v$ , аби лише його було отримано з рівняння (4), тож на доведеннях достатніх умов екстремуму функціоналу (1) ми зупинятись не будемо.

### 3. Висновки

Для того, щоб електропривод трамвая витрачав мінімальну кількість електроенергії під час руху по маршруту від однієї зупинки до наступної, необхідно підтримувати значення струму в якорях його електродвигунів та кутову швидкість обертання валів цих електродвигунів у відповідності з моделями (15), (17) та (32), (34).

### СПИСОК ЛІТЕРАТУРИ

1. Петров Ю. П. Вариационные методы оптимального управления. — Л.: Энергия. — 1965. — 220 с.
2. Математична модель кривої намагнічування електричного двигуна постійного струму з послідовним збудженням для задач оптимізації / Б. І. Мокін, О. Б. Мокін // Вісник ВПІ. — 2004. — № 1. — С. 45—47.
3. Вольдек А. И. Электрические машины. Учебник для студентов высш. техн. учебн. заведений. — 3-е изд., перераб. — Л.: Энергия, 1978. — 832 с.

Рекомендована кафедрою електромеханічних систем автоматизації

Надійшла до редакції 26.12.03  
Рекомендована до друку 24.03.04

**Мокін Борис Іванович** — завідувач кафедри; **Мокін Олександр Борисович** — аспірант

Кафедра моделювання і моніторингу складних систем, Вінницький національний технічний університет